Моделирование межклеточных контактных взаимодействий на основе дифференциальных уравнений с распределенным запаздыванием

ПЕРЦЕВ Н.В.

Москва, ИВМ РАН, октябрь 2025 г.

Работа выполнена в ОФИМ СО РАН и ИВМ РАН в рамках проекта Российского научного фонда, № 23-11-00116

Введение

В задачах математической иммунологии часто возникает необходимость моделирования межклеточных контактных взаимодействий.

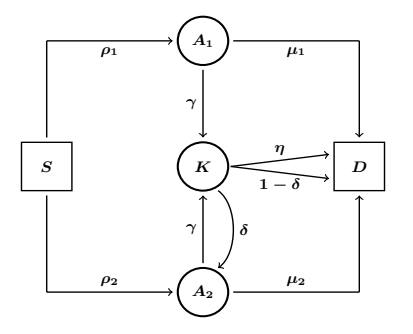
• Пример. В результате контактного цитолиза натуральные клеткикиллеры (NK-клетки) разрушают инфицированные вирусом клетки. Длительность контактного цитолиза составляет 1–2 часа (Ярилин А.А., 2010).

<u>Цель работы</u> – построение и исследование модели, описывающей динамику двух клеточных популяций с учетом:

- 1) контактного взаимодействия клеток,
- 2) формирования из пар клеток временно существующих комплексов.

Уравнения модели и свойства решений

Пусть A_1 , A_2 – клетки двух популяций, K – комплекс, образованный из пары клеток A_1 и A_2 в результате их контактного взаимодействия.



 $ho_1=
ho_1(t)\geqslant 0,\
ho_2=
ho_2(t)\geqslant 0$ — непрерывные ф—ии или константы, $\mu_1>0,\ \mu_2>0,\ \gamma>0,\ 0<\delta\leqslant 1$ — константы, величина $\eta\sim R(s)$ распределена на $[0,\omega],\ R(0)=0,\ R(\omega)=1.$ S — внешний источник, D — погибшие клетки.

Пусть $A_1(t)$, $A_2(t)$, K(t) численность популяций A_1 , A_2 и комплексов K в момент времени t. Уравнения модели:

$$\frac{dA_1(t)}{dt} = \rho_1(t) - \mu_1 A_1(t) - \gamma A_1(t) A_2(t), \tag{1}$$

$$\frac{dA_2(t)}{dt} = \rho_2(t) - \mu_2 A_2(t) - \gamma A_1(t) A_2(t) + \delta \int_0^\omega \gamma A_1(t-s) A_2(t-s) dR(s), \tag{2}$$

$$\frac{dK(t)}{dt} = \gamma A_1(t) A_2(t) - \int_0^\omega \gamma A_1(t-s) A_2(t-s) dR(s), \ t \geqslant 0, \quad (3)$$

$$A_1(\theta) = A_1^{(0)}(\theta) \geqslant 0, \ A_2(\theta) = A_2^{(0)}(\theta) \geqslant 0, \ \theta \in [-\omega, 0],$$
 (4)

$$K(0) = \int_0^\omega \left(1 - R(s)\right) \gamma A_1^{(0)}(-s) A_2^{(0)}(-s) ds. \tag{5}$$

Начальные функции в (4) непрерывны. Модель имеет единственное решение на промежутке $t\in [0,\infty)$, компоненты решения неотрицательны.

Вычислительный эксперимент

Примем:

популяция A_1 — инфицированные вирусами клетки, популяция A_2 — естественные клетки-киллеры (NK-клетки), $[0,T_{mod}]=[0,10]$ суток, шаг интегрирования h=0.0002 (сутки), величина $\eta\sim U[1/24,1/12]$ — равномерное распределение (сутки), параметр $\delta=1$ — все NK-клетки, покидающие комплекс, возвращаются в свою популяцию (феномен рециклинга, Ярилин А.А., 2010),

$$\begin{split} \rho_1(t) &= 75000 \exp(0.15\,t), \, \rho_2(t) = \rho_2^* = 2500 \,\, (\text{сутки}^{-1}), \\ \mu_1 &= 0.05, \, \mu_2 = 0.12, \, \gamma = 0.025 \,\, (\text{сутки}^{-1}), \\ A_1^{(0)}(s) &\equiv 0, \,\, A_2^{(0)}(s) = \rho_2^*/\mu_2, \,\, K(0) = 0. \end{split}$$

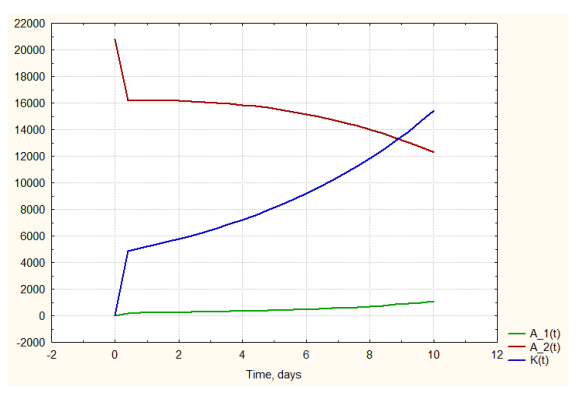


Рис. 1. Результаты вычислений для указанного набора параметров.

Сравнение построенной модели и модели без запаздывания

Если не учитывать запаздывания, то уравнения модели таковы:

$$\frac{dA_1(t)}{dt} = \rho_1(t) - \mu_1 A_1(t) - \gamma A_1(t) A_2(t), \tag{10}$$

$$\frac{dA_2(t)}{dt} = \rho_2(t) - \mu_2 A_2(t) - \gamma A_1(t) A_2(t) + \delta \, r K(t),\tag{11}$$

$$\frac{dK(t)}{dt} = \gamma A_1(t) A_2(t) - rK(t), \ t \ge 0.$$
 (12)

Начальные данные возьмем из исходной модели.

Параметр r>0 – интенсивность распада комплексов K. Примем, что r – параметр экспоненциальной функции распределения

$$F(s) = 1 - \exp(-rs), \ s \in [0, \infty),$$
 (13)

где 1/r – среднее время существования комплексов.

Полагая K(0) = 0 и интегрируя (12), получаем

$$K(t) = \int_0^t e^{-rs} \gamma A_1(t-s) A_2(t-s) ds$$

= $\frac{1}{r} \int_0^t \gamma A_1(t-s) A_2(t-s) dF(s), \ t \ge 0.$

Перепишем систему (10)–(12) в форме:

$$\frac{dA_1(t)}{dt} = \rho_1 - \mu_1 A_1(t) - \gamma A_1(t) A_2(t),\tag{14}$$

$$\frac{dA_2(t)}{dt} = \rho_2 - \mu_2 A_2(t) - \gamma A_1(t) A_2(t) + \delta \int_0^t \gamma A_1(t-s) A_2(t-s) dF(s),$$
(15)

$$\frac{dK(t)}{dt} = \gamma A_1(t) A_2(t) - \int_0^t \gamma A_1(t-s) A_2(t-s) dF(s), \ t \geqslant 0.$$
 (16)

Система (14)–(16) внешне схожа с исходной системой (1)–(3).

На рис. 2 результаты вычислений для двух моделей; $1/r_* = 1.5/24$ (сутки) – средние длительности существования комплексов K одинаковы, $r = r_*$.

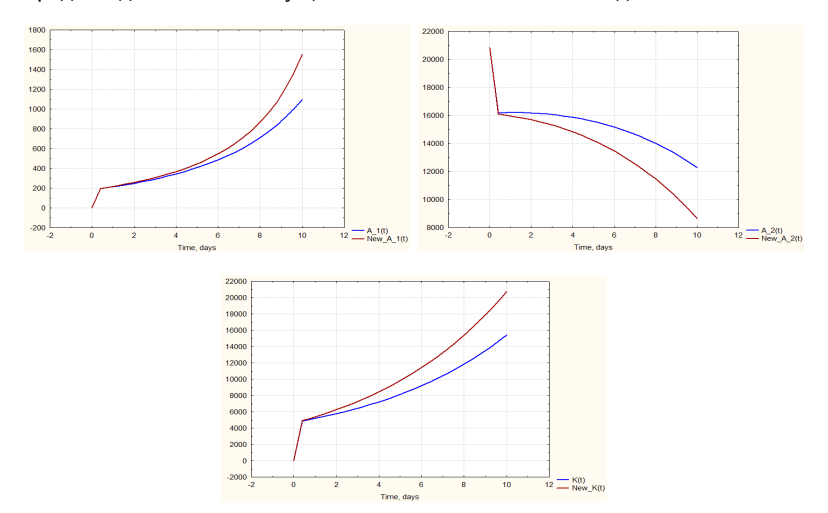


Рис. 2. Тенденции сохраняются, но имеются и заметные различия: синяя линия – исходная модель, бордовая – вторая модель.

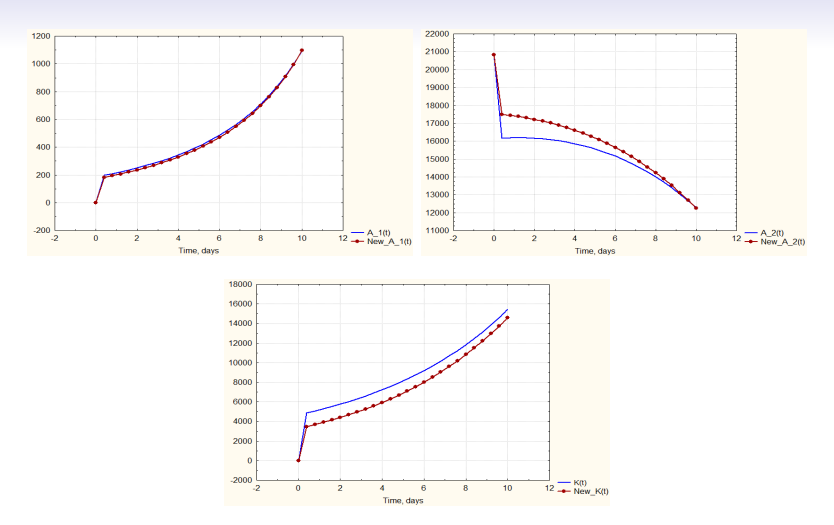


Рис. 3. Результаты вычислений для двух моделей при $r=1.427\,r_*$: синяя линия – исходная модель, бордовая – вторая модель. Видны совпадения по $A_1(t)$, но и различия по $A_2(t)$, K(t).

Дополнение: алгоритм численного моделирования (частный случай)

Примем, что η – длительность существования комплексов K распределена равномерно на промежутке $[\omega_1,\omega_2]$, $0<\omega_1<\omega_2$.

Тогда в уравнениях (2) и (3):

$$\int_{0}^{\omega} A_{1}(t-s)A_{2}(t-s)dR(s) = \frac{1}{\omega_{2} - \omega_{1}} \int_{\omega_{1}}^{\omega_{2}} A_{1}(t-s)A_{2}(t-s)ds$$

$$= \frac{1}{\omega_{2} - \omega_{1}} \int_{t-\omega_{2}}^{t-\omega_{1}} A_{1}(\theta)A_{2}(\theta)d\theta = Z(t), \ t \geqslant 0.$$
(7)

От (7) приходим к дифф. ур–ю для Z(t) при $t\geqslant 0$

$$\frac{dZ(t)}{dt} = \frac{1}{\omega_2 - \omega_1} \left(A_1(t - \omega_1) A_2(t - \omega_1) - A_1(t - \omega_2) A_2(t - \omega_2) \right), (8)$$

$$Z(0) = \frac{1}{\omega_2 - \omega_1} \int_{-\omega_2}^{-\omega_1} A_1^{(0)}(\theta) A_2^{(0)}(\theta) d\theta. \tag{9}$$

Систему (1)–(3) можно переписать в форме ($t \ge 0$):

$$\frac{dA_1(t)}{dt} = \rho_1(t) - \mu_1 A_1(t) - \gamma A_1(t) A_2(t), \tag{1*}$$

$$\frac{dA_2(t)}{dt} = \rho_2(t) - \mu_2 A_2(t) - \gamma A_1(t) A_2(t) + \delta \gamma Z(t), \tag{2*}$$

$$\frac{dK(t)}{dt} = \gamma A_1(t) A_2(t) - \gamma Z(t), \tag{3*}$$

$$\frac{dZ(t)}{dt} = \frac{1}{\omega_2 - \omega_1} \left(A_1(t - \omega_1) A_2(t - \omega_1) - A_1(t - \omega_2) A_2(t - \omega_2) \right). \tag{8*}$$

Для численного решения системы (1^*) – (3^*) , (8^*) , дополненной начальными данными, использован метод шагов в сочетании с полуневной схемой Эйлера в предположении, что шаг интегрирования h кратен ω_1 и ω_2 .